

O'ZBEKISTON RESPUBLIKASI  
OLIY TA'LIM, FAN VA INNOVATSIYALAR VAZIRLIGI  
FARG'ONA DAVLAT UNIVERSITETI

**FarDU  
ILMIY  
XABARLAR-**

1995-yildan nashr etiladi  
Yilda 6 marta chiqadi

2-2023

**НАУЧНЫЙ  
ВЕСТНИК.  
ФерГУ**

Издаётся с 1995 года  
Выходит 6 раз в год

**SI/CU PLYONKA TIZIMINING YUZASIDA YARATILGAN NANO O'LCHOVLI  
TUZILMALARNING XUSUSIYATLARINI O'RGANISH**

**ИССЛЕДОВАНИЕ СВОЙСТВ НАНОРАЗМЕРНЫХ СТРУКТУР, СОЗДАННЫХ НА  
ПОВЕРХНОСТИ ПЛЕНОЧНОЙ СИСТЕМЫ SI/CU**

**STUDYING THE PROPERTIES OF NANOSCALE STRUCTURES CREATED ON THE  
SURFACE OF THE SI/CU P SYSTEM FILMS SI/CU**

**Tursunov Alisher Ravshan o'g'li<sup>1</sup>, Axmedov Akbar Akramovich<sup>2</sup>**

**<sup>1</sup>Tursunov Alisher Ravshan o'g'li**

– Toshkent Kimyo – Texnologiya Instituti Shahrishabz filiali Kimyoviy texnologiya va sifat menejmenti kafedrasi assistent o'qituvchisi

**<sup>2</sup>Axmedov Akbar Akramovich**

– Toshkent Kimyo – Texnologiya Instituti Shahrishabz filiali Kimyoviy texnologiya va sifat menejmenti kafedrasi assistent o'qituvchisi

**Annotatsiya**

*Past energiyali ( $E_0 = 1-5$  keV)  $O_2^+$ ,  $Ba^+$ ,  $Cu^+$  va  $Co^+$  ionlarini implantatsiya qilish usuli bilan hamda so'ngra qizdirilib, erkin nanoplyonka tizimi Si/Cu(100) yuzasida  $SiO_2$  va metall silitsidlari nanofazalari va pylonkalar olingan. Ularning sirt morfologiysi, tarkibi, energiya zonalari parametrlari, ikkilamchi elektron emissiyasi koefitsientining maksimal qiymati va fotoelektronlarning kvant chiqishi aniqlandi. Xususan, metall silisidlarning taqiqlangan zona oraliq'i 0,3-0,4 eV, qarshilik esa - 100-500 m $\Omega$ ·sm ekanligi ko'satilgan.*

**Аннотация**

*Методом низкоэнергетической ( $E_0=1-5$  кэВ) имплантации ионов  $O_2^+$ ,  $Ba^+$ ,  $Cu^+$  и  $Co^+$  с последующим отжигом на поверхности свободной нанопленочной системы Si/Cu(100) получены нанофазы и пленки  $SiO_2$  и силицидов металлов. Определены их морфология поверхности, состав, параметры энергетических зон, максимальное значение коэффициента вторичной электронной эмиссии, квантовый выход фотоэлектронов. В частности показано, что щерена запрещенной зоны силицидов металлов составляет 0.3-0.4 эВ, а их удельное сопротивления - 100-500 м $\Omega$ ·см.*

**Abstract**

*Nanophases and films of  $SiO_2$  and metal silicides have been obtained by low-energy ( $E_0=1-5$  keV) implantation of  $O_2^+$ ,  $Ba^+$ ,  $Cu^+$  and  $Co^+$  ions and the annealing of a free Si/Cu (100) nanofilm systems on the surface. Their surface morphology, composition, energy band parameters, maximum values of the secondary electron emission coefficient, and the quantum yield of photoelectrons have been determined. In particular, it has been shown that the band gap of metal silicides is 0.3-0.4 eV and their specific resistance is 100-500 m $\Omega$ ·cm.*

**Kalit so'zlar:** kremniy, pylonka, energiya, nanoelektronika, elektron, oksid, yarimo'tkazgich

**Ключевые слова:** кремний, пленка, энергия, наноэлектроника, электрон, оксид, полупроводник.

**Key words:** silicon, film, energy, nanoelectronics, electron, oxide, semiconductor.

**KIRISH**

Ma'lumki, kremniy va uning silisidlari zamonaviy elektron va elektrotexnika sanoatining ko'plab sohalarida, maxsus maqsadlarda, shuningdek, nano va mikroelektronik qurilmalar, turli mashina va uskunalar yaratishda keng qo'llaniladi.

Ishning dolzarbligi shundan iboratki, so'nggi paytlarda yarimo'tkazgichlar va dielektrik pylonkalarning sirt va sirtga yaqin hududida yaratilgan nano o'lchamdagи pylonkalar va klaster fazalari keng o'rganildi. Bu asosan mikro, opto va nanoelektronika uchun yangi qurilmalarni ishlab chiqishda ushbu materiallarning istiqbollari bilan bog'liq. Erkin pylonkalar yuzasida nanostrukturalarning xossalari tayyorlash va o'rganish alohida qiziqish uyg'otadi va bu katta istiqbolga ega va ilmiy-amaliy ahamiyatga ega.

Ushbu ishning asosiy maqsadi ion implantatsiyasi paytida erkin Si/Cu pylonkasi yuzasida hosil bo'lgan yupqa ( $d \leq 30-40$  Å) oksid pylonkali va metall silisidlarning elektron tuzilishi, emissiyasi, elektr va optik xususiyatlarini o'rganishdir.

Tadqiqot obyektlari sifatida Si, Si/Cu, SiO<sub>2</sub>, SiO<sub>2</sub>/Si/Cu, CoSi<sub>2</sub> va BaSi<sub>2</sub>/Si/Cu namunalaridan foydalaniladi.

### ADABIYOTLAR TAHLILI VA METODLAR

Tadqiqot usullarida asossan elektron spektroskopiyasi, fotoelektron spektroskopiyasi, xarakterli elektron energiyasini yo'qotish spektroskopiyasi, skanerlash elektron mikroskopiyasi va yuqori tezlikdagi elektron difraksiyasi qurilmalari yordamida natijalar olindi.

Ilmiy yangilik sifatida sirt morfologiyasi, energiya diapazoni parametrlari, nanoo'lchamli fazalarning emissiyasi va optik xossalari hamda yupqa Si/Cu nanoplyonka tizimi yuzasida yaratilgan SiO<sub>2</sub>, Cu<sub>2</sub>Si<sub>3</sub>, BaSi<sub>2</sub> va CoSi<sub>2</sub> pylonkalari o'rGANildi. Bu pylonkalarning fizik xossalari pylonkalar yuzasida olingen pylonkalardan sezilarli darajada farq qilishi aniqlangan.

Ishning amaliy ahamiyati shundaki, bu texnika materiallarning sirt xususiyatlarini va uning elektron va ion bombardimonlari ta'sirida o'zgarishini o'rGANishda muhim rol o'ynaydi.

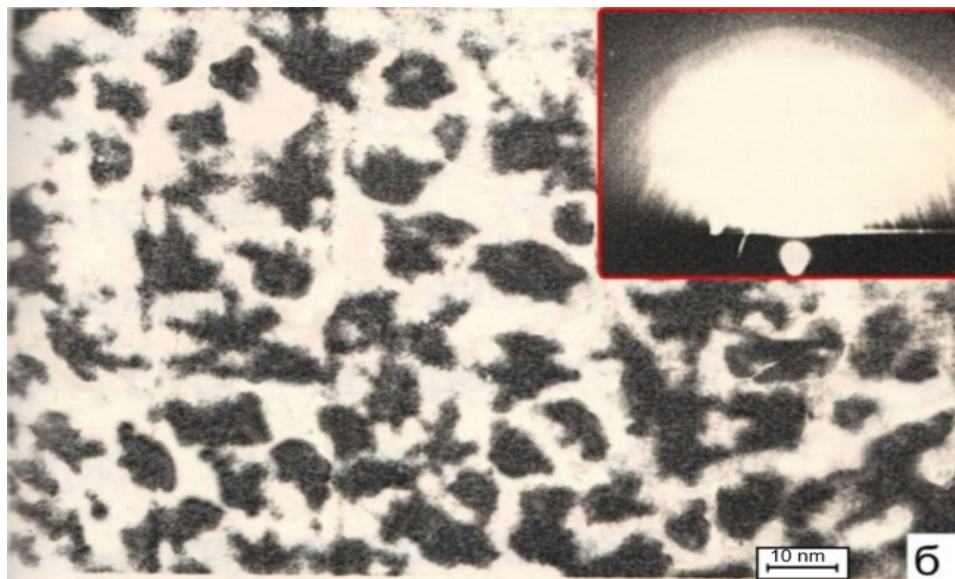
So'nggi paytlarda yarimo'tkazgichlar va dielektrik pylonkalarning sirt va sirtga yaqin hududida yaratilgan nano o'lchamdagи pylonkalar va klaster fazalari keng o'rGANildi. Bu asosan, mikro, opto va nanoelektronika uchun yangi qurilmalarni ishlab chiqishda ushbu materiallarning istiqbollari bilan bog'liq [1-7]. Pylonkalar yuzasida nanostrukturalarning xususiyatlarini tayyorlash va o'rGANish alohida qiziqish uyg'otadi [8, 9]. Ushbu maqsadlar uchun so'nggi yillarda kam energiyali ion implantatsiyasi usuli keng qo'llanilmoqda.

Ilgari biz [9, 10] yupqa Si/Cu pylonka sistemasi yuzasida nano o'lchamdagи SiO<sub>2</sub> va MeSi<sub>2</sub> pylonkalarining hosil bo'lishini o'rGANidik. Biroq ularning asosiy xususiyatlari hali ham yaxshi tushunilmagan. Shuning uchun bu ish ion implantatsiyasi paytda Si/Cu pylonka yuzasida hosil bo'lgan yupqa ( $d \leq 30-40 \text{ \AA}$ ) oksid pylonkalari va metall silisidlarning elektron tuzilishi, emissiyasi, elektr va optik xususiyatlarini o'rGANishga bag'ishlangan. Birinchidan, qalinligi  $d \approx 450 \text{ \AA}$  bo'lgan yupqa monokristalli mis pylonkalar  $10^{-5} \text{ Pa}$  dan kam bo'lмаган vakuumda  $T \approx 350-450 \text{ K}$  da sun'iy ravishda o'stirilgan NaCl(100) kristalining yuzasida vakuum bug'lanishi orqali olingen. [8]. Pylonkaning qalinligi bir hil bo'lмаганligi  $\sim 15-20 \text{ \AA}$  edi. Qalinligi  $\sim 50-500 \text{ \AA}$  bo'lgan kremniy pylonkalar Cu(100) yuzasida Si kristal atomlarini elektron bombardimon qilish natijasida hosil bo'ladi. Asosan, qalinligi  $d=400 \text{ \AA}$  bo'lgan Si pylonkalar ishlatilgan. Cu va Si pylonkalarining qalinligi pylonkaning cho'kish tezligidan, qat'iy cho'kish vaqtidan boshlab aniqlandi (birinchi navbatda, nazorat o'lchovlari etalon pylonkalarda amalga oshirildi).

Ion implantatsiyasi, qizdirish va barcha tadqiqotlar bir xil eksperimental qurilmada,  $10^{-6} \text{ Pa}$  dan kam bo'lмаган vakuumda amalga oshirildi. Ionlarning energiyasi 1 dan 5 keV gacha o'zgarib turadi va ularning dozasi  $D \approx 10^{14} - 10^{17} \text{ ion sm}^{-2}$ . Tarkibi va xususiyatlarini o'rGANish uchun elektron spektroskopiyasi, fotoelektron spektroskopiyasi, xarakterli elektron energiyasini yo'qotish spektroskopiyasi, skanerlash elektron mikroskopiyasi va yuqori tezlikda elektron difraksiyasi usullari to'plami ishlatilgan.  $d=20-25 \text{ \AA}$  bo'lgan amorf SiO<sub>2</sub> pylonkalari nurlanish dozasi  $D=5 \cdot 10^{14} \text{ sm}^{-2}$  dan  $D=6 \cdot 10^{16} \text{ sm}^{-2}$  gacha o'zgarganda energiya  $E_0=1 \text{ keV}$  bo'lgan Si/Cu(100) ga O<sub>2+</sub> ionlarini implantatsiya qilish orqali hosil bo'ladi keyin  $T=700 \text{ K}$  haroratda qizdiriladi [9] va 1b-rasmarda  $D=6 \cdot 10^{15} \text{ sm}^{-2}$  dozada  $E_0=1 \text{ keV}$  bo'lgan O<sub>2+</sub> ionlarini implantatsiya qilishdan oldin va keyin Si/Cu(100) sirtining tasvirlari va rasmlari ko'rsatilgan. Ko'rinib turibdiki, sof kremniy yuzasi nisbatan silliq mikrorelefga ega (1a-rasm) va polikristalga yaqin tuzilishga ega (1a-rasmga kiritilgan). O<sub>2+</sub> ionlari bilan implantatsiya qilingandan so'ng, Si yuzasida tuzilishi va tarkibi o'zgargan individual ko'rinish (klasterlar) paydo bo'ladi. Klaster fazalarining sirt o'lchamlari 10 nm dan 20 nm gacha bo'lgan oraliqda joylashgan. Bunday holda, klaster fazalari butun nurlangan maydonning bir soniyasini egallaydi. Shunga qaramay, polikristallarga xos bo'lgan halqalar elektron difraksiyada butunlay yo'qoladi va kuchli tartibsiz sirtga xos bo'lgan yangi keng va diffuz halqalar paydo bo'ladi (1b-rasm). Ko'rinib turibdiki, klasterlarning lokalizatsiyasi yaqinida mikrobuzilishlarning paydo bo'lishi nurlangan sirtning boshqa qismlarini ham tartibsizlikka olib keladi.  $D \approx 2 \cdot 10^{16} \text{ sm}^{-2}$  dozadan boshlab, alohida bo'limlar (klasterlar) chegaralarining bir-biri bilan ustma-ust tushishi kuzatiladi.

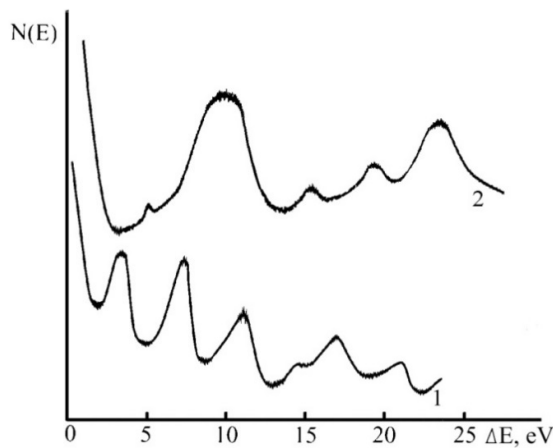


1-rasm.  $O_{2+}$  ionlari bilan implantatsiyadan oldin va keyin Si/Cu(100) sirtining elektron mikroskopik tasvirlari (rasmlarga kiritilgan): (a) qo'shilмаган Si/Cu(100) nanoplyonka үчүн; b - Si/Cu(100) үчүн, енергия  $E_0=1,0$  keV болған  $O_{2+}$  ionlari  $D=6 \cdot 10^{15} \text{ sm}^{-2}$  дозада implantatsiya qilinadi.



$O_{2+}$  ionlari bilan implantatsiya qilingandandan со'нг, Si yuzasida tuzilishi va tarkibi o'zgargan individual ko'rinishi (klasterlar) paydo bo'ladi. Klaster fazalarining sirt o'lchamlari 10 nm dan 20 nm gacha. Bunday holda, klaster fazalari butun nurlangan maydonning bir soniyasini egallaydi. Shunga qaramay, polikristallarga xos bolgan halqalar elektron difraksiya naqshida butunlay yo'qoladi va o'ta tartibsiz sirtga xos bolgan yangi keng va diffuz halqalar paydo bo'ladi (1b-rasmga kiritilgan). Ko'riniib turibdiki, klasterlarning lokalizatsiyasi yaqinida mikrobuzilishlarning paydo bo'lishi nurlangan sirtning boshqa qismalarini ham tartibsizlikka olib keladi.  $D \approx 2 \cdot 10^{16} \text{ sm}^{-2}$  dozadan boshlab, alohida bo'limlar (klasterlar) chegaralarining bir-biri bilan ustma-ust tushishi kuzatiladi.  $O_{2+}$  ionlarining dozasini  $D \approx 8 \cdot 10^{16} \text{ sm}^{-2}$  ga oshirish klasterlarning to'liq qoplanishiga olib keladi va sirtga yaqin hududda  $SiO_2$  ning amorf qatlami hosil bo'ladi. Ikkinchisi bitta diffuz halqaning bir qator halqalari-amorf o'rniga elektron diffraksiya natijasida o'natish bilan tasdiqlanadi. 2-rasmda nano o'lchamli oksidli plyonkali Si/Cu(100) plyonkasi үчүн енергиya yo'qotishning xarakteristikasi spektrlari ko'rsatilgan. Ko'riniib turibdiki, Si/Cu(100) spektri energiyalarda intensiv cho'qqilarni aniqlaydi:  $\Delta E_3=10.4$  ( $\hbar\omega_s$ ),  $\Delta E_5=17$  ( $\hbar\omega_v$ ) va  $\Delta E_6=21$  ( $2\hbar\omega_s$ ) eV

da plazma tebranishlari ta'sirida diapazonlararo o'tishlar va cho'qqilar tufayli  $\Delta E_1=3.4$ ;  $\Delta E_2=6.7$  va  $\Delta E_4=14$  [9].  $\text{SiO}_2$  nanoplyonka spektrida 2 ta maksimal, polosalalararo o'tishlar  $\Delta E_1=9.1$ ;  $\Delta E_3=19$  eV va plazma tebranishlarining ikkita maksimal  $\Delta E_2=15$  ( $\hbar\omega_s$ ) va  $\Delta E_4=23$  ( $\hbar\omega_v$ ) eV erkin  $\text{SiO}_2/\text{Si}$  nanoplyonkadagi plazma tebranishlari va tarmoqlararo o'tishlarning energiyasi qalin  $\text{SiO}_2$  plyonkasidan farq qiladi. Tarmoqlararo elektron o'tishlar tufayli maksimallarning siliishi tabiat, bizning fikrimizcha,  $\text{SiO}_2$  plyonkasi qalinligining pasayishi va substrat ta'sirining kuchayishi bilan elektron holat funktsiyalarining deformatsiyasi bilan bog'liq.



2-rasm. Si/Cu(100) plyonkasi uchun energiya yo'qotishning xarakteristikasi spektrlari  $\text{SiO}_2$  plyonkasi hosil bo'lishidan oldin (egri-1) va keyin (egri-2).  $E_p=1000$  eV.

### NATIJALAR VA MUHOKAMA

Si yuzasiga qizdirilgandan so'ng metall ionlarini implantatsiya qilishda, nurlanish dozasiga qarab, metall silisidlarning nanofazali qatlamlari hosil bo'ldi. Biz  $\text{Cu}_2\text{Si}_3$ ,  $\text{BaSi}_2$  va  $\text{CoSi}_2$  silisidlarining nanoklaster fazalari va plyonkalarini ( $d=20-50$  Å) oldik.

Shunday qilib,  $\text{O}_2^+$  va  $\text{Ba}^+$  ionlarining ion implantatsiyasi va keyinchalik qizdirilgandan so'ng,  $\text{SiO}_2$  / Si / Cu va  $\text{BaSi}_2$  / Si / Cu uch qatlamlari tizim hosil bo'ladi.

1-jadvalda tarmoqli energiya parametrlari, koefitsientlarining  $\sigma_m$ , maksimal qiymatlari  $\sigma_m$ , fotoelektron kvant rentabelligi va  $\text{SiO}_2$  nanoplyonkalari va metall silisidlarning qarshiligi  $\rho$  keltirilgan. Ko'rinish turibdiki, metall silisid hosil bo'lganda  $E_g$  qiymati 3 marta, solishtirma qarshilik  $10^4$  marta,  $\sigma_m$  va  $Y$  ning qiymati 1,5-2 marta,  $\text{SiO}_2$  hosil bo'lganda esa  $E_g$  ning qiymati 3 marta kamayadi.  $E_g$  qiymati ~4 marta,  $\rho - 10^4$  marta  $\sigma_m$  va  $t - 2-3$  marta ortadi. Biroq, bu ma'lumotlar ommaviy Si plyonkalar yuzasida olingan o'xshash qatlam uchun olingan ma'lumotlardan sezilarli darajada farq qildi. Masalan, massiv Si plyonkalar yuzasida hosil bo'lgan  $\text{SiO}_2$  va  $\text{BaSi}_2$  uchun  $E_g$  qiymati mos ravishda 7,9 va 0,7 eV ni tashkil qiladi. Bu farqlar shu bilan izohlanadiki, erkin plyonkalar yuzasida hosil bo'lgan  $\text{SiO}_2$  plyonkalar (va metall silisidlar) isitish haroratining chegaralanganligi sababli, ba'zi miqdorda bog'lanmagan kremlniy atomlari va  $\text{SiO}_x$  tipidagi oksidni o'z ichiga oladi ( $1 \leq x < 2$ ) [10]. 1-jadvaldagagi ma'lumotlarga asoslanib, uch qatlamlari tizimning taxminiy tarmoqli energiya diagrammasini chizish mumkin.

### 1-jadval

Olingan yupqa plyonkalarning  $\sigma_m$ ,  $Y$  va  $\rho$  diapazonli energiya parametrlari va qiymatlari

Turli xil parametrlar	Si $d=400\text{\AA}$	$\text{SiO}_2/\text{Si}$ $d=20$ Å	$\text{Cu}_2\text{Si}_3/\text{Cu}$ $d=50-60$ Å	$\text{BaSi}_2/\text{Si}$ $d=50-60$ Å	$\text{CoSi}_2/\text{Si}$ $d=50-60$ Å
$e\varphi, \text{eB}$	5.1	3.9	4	3.1	-
$E_g, \text{eB}$	1.1	4.1	0.3	0.3	0.4
$\rho, \text{mkOm}\cdot\text{cm}$	$6\cdot10^5$	$2\cdot10^8$	500	100-150	80-100
$\Phi, \text{eB}$	5.2	4.9	4	3.9	4.1
X					

## FIZIKA-TEXNIKA

$\sigma_m$	1.2	2.2	1.2	2	1.7
Y	$8 \cdot 10^{-5}$	$6 \cdot 10^{-4}$	$8 \cdot 10^{-5}$	$4 \cdot 10^{-4}$	-

е<sup>р</sup> ва F - termoelektron va fotoelektron ish funktsiyalari, masalan - tarmoqli bo'shlig'i, X - elektron yaqinligi.

## XULOSA

Shunday qilib, erkin Si/Cu nanoqatlam sistemasi yuzasida yaratilgan nano o'lchamli fazalar hamda SiO<sub>2</sub>, Cu<sub>2</sub>Si<sub>3</sub>, BaSi<sub>2</sub> va CoSi<sub>2</sub> plyonkalarining sirt morfologiysi, energiya tasmasi parametrlari, emissiya va optik xossalari o'rganilmoxda. Bu plyonkalarning fizik xossalari plyonkalar yuzasida olingen qatlardan sezilarli darajada farq qilishi ko'rsatilgan. Xususan, yupqa va quyma Si plyonkalarining yuzalarida olingen SiO<sub>2</sub> plyonkalarining Eg taxminan ikki baravar farq qiladi.

## ADABIYOTLAR RO'YXATI

- [1]. A.L. Stepanov, V.I. Nuzhdin, V.F. Valeev, V.V. Vorobev, A.M. Rogov, Y.N. Osin «Study of silicon surface implanted by silver ions», *Vacuum* 159 (2019) 353–357.(A.L. Stepanov, V.I. Nuzhdin, V.F. Valeev, V.V. Vorobev, A.M. Rogov, Y.N. Osin «Kumush ionlari bilan implantatsiya qilingan kremniy sirtini o'rganish», *Vakuum* 159 (2019) 353-357.)
- [2]. D.N.Leong, M.A.Harry, K.J.Reeson, and K.P.Homewood, "On the origin of 1.5 $\mu$ m luminescence in ion beam synthesis  $\beta$ -FeSi<sub>2</sub>". *Appl. Phys. Letters.* V.68, 1649 (1996) (D.N.Leong, M.A.Harry, K.J.Reeson, va K.P.Homewood, "  $\beta$ -FeSi<sub>2</sub> ning ion nurlari sintezida 1,5 $\mu$ m luminesansning kelib chiqishi haqida".)
- [3]. В.А.Гриценко, «[Атомная структура аморфных нестехиометрических оксидов и нитридов кремния](#)» УФН, 178 727–737 (2008). (V.A.Grisenko, « Amorf nestoxiometrlik kremniy oksidlari va nitridlarning atom tuzilishi» UFN, 178 727–737 (2008))
- [4]. К.В.Карабельников, П.А.Карасев, А.И.Титов, ФТП, Т.47, 206 (2013). (K.V.Karabelnikov, P.A.Karasev, A.I.Titov, FTP, T.47, 206 (2013))
- [5]. А.А.Алексеев, Д.А.Олянич, Т.В.Утас, В.С.Котляр, А.В.Зотов, А.А.Саранин, ЖТФ, Т.85, вып.10, 94 (2015). (A.A.Alekseyev, D.A.Olyanich, T.V.Utas, V.S.Kotlyar, A.V.Zotov, A.A.Saranin, JTF, T.85, nashr.10, 94 (2015))
- [6]. Ю.А. Ницук, М.И. Киосе, Ю.Ф. Вакстон, В.А. Смынтына, И.Р. Яцунский // ФиТП, 2019, Т.53, вып.3. С. 381-387. (Yu.A.Nisuk, M.I.Kiose, Yu.F.Vakston, V.A. Smitina, I.R.Yasunskiy // FiTP, 2019, T.53, nashr.3. S. 381-387.)
- [7]. S.B. Donaev, F. Djurabekova, D.A. Tashmukhamedova, B.E. Umirzakov «Formation of nanodimensional structures on surfaces of GaAs and Si by means of ion implantation», *Physics Status Solidi (C) Current Topics in Solid State Physics*, V.12. Issue 1-2, January 2015, P.89-93. (S.B. Donayev, F. Djurabekova, D.A. Tashmuhamedova, B.E. Umirzaqov «GaAs va Si sirtlarida ion implantatsiyasi orqali nano o'lchovli tuzilmalarni hosil qilish», Fizika holati Solidi (C) Qattiq jism fizikasining dolzarb mavzulari, V.12. Nashr 1-2, Yanvar 2015, P.89-93.)
- [8]. D. Wang and Z.-Q. Zou, Nanotechnology 20, 275607 (2009). (D.Wang va Z.-Q. Zou, Nanotexnologiya 20, 275607(2009))
- [9]. F. Komarov, L. Vlasukova, M. Greben, O. Milchanin, J. Zuk, W. Wesch, E. Wendler, and A. Togambayeva, Nucl. Instrum. and Methods In Phys. Res., Sect. B 307, 102 (2013). (F.Komarov, L. Vlasukova, M. Greben, O. Milchanin, J.Zuk, V.Wesch, E. Vendler, va A.Togambayeva, Nukl. Instrum. va fizikada usullar. Res., Sekt. B 307,102 (2013).)
- [10]. Donaev S.B., Djurabekova F., Tashmukhamedova D.A. and Umirzakov B.E. [Formation of nanodimensional structures on surfaces of GaAs and Si by means of ion implantation](#). *Physica status solidi (c)* 12 (1-2), 89-93, [doi.org/10.1002/pssc.201400156](https://doi.org/10.1002/pssc.201400156). (Donayev S.B., Djurabekova F., Tashmuhamedova D.A. va Umirzaqov B.E. GaAs va Si sirtlarida ion implantatsiyasi yordamida nano o'lchovli tuzilmalarni hosil qilish. Fizika holati mustahkam (c) 12 (1-2), 89-93, [doi.org/10.1002/pssc.201400156](https://doi.org/10.1002/pssc.201400156).)